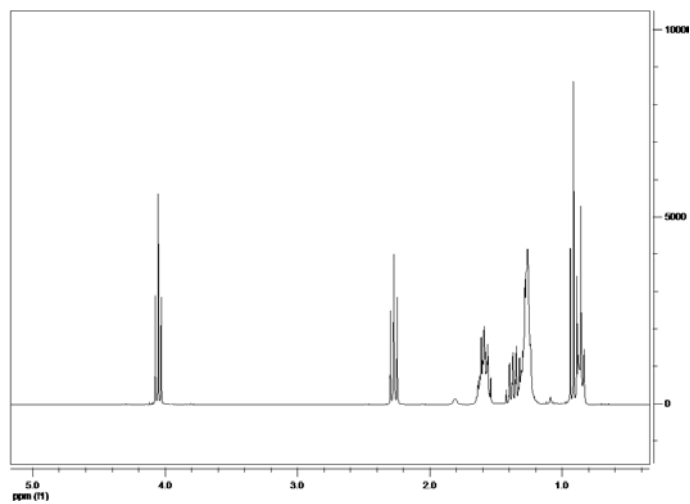
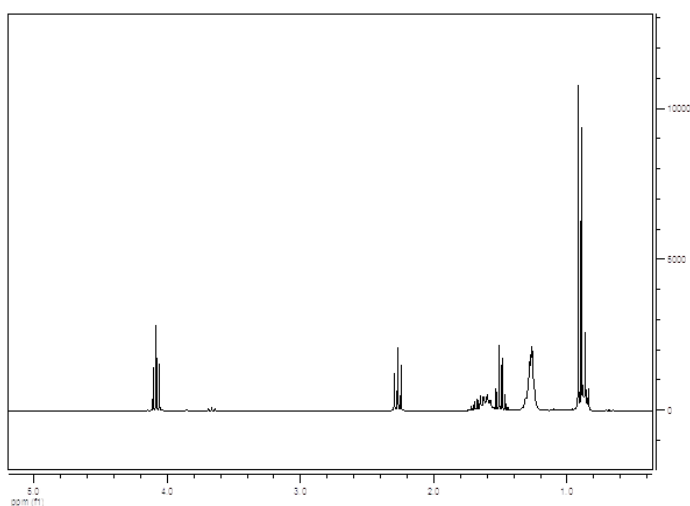


## MATERIAL SUPLEMENTAR



**Figura 1S.** Espectros de  $RMN^1H$  ( $CDCl_3$ ,  $\delta$ , ppm, 300MHz) do padrão caprilato de butila



**Figura 2S.** Espectros de  $RMN^1H$  ( $CDCl_3$ ,  $\delta$ , ppm, 300 MHz) do padrão caprilato de isopentila

**Tabela 1S.** Análise dos espectros obtidos para os ésteres padrões

Espectros	Análises das estruturas
Octanoato de butila	
	RMN <sup>1</sup> H (300 MHz, CDCl <sub>3</sub> ): δ 0,90 (m, 6H, a, k); 1,20 – 1,70 (m, 14 H, b, c, d, e, f); 2,25 (t, 2H, g); 4,08 (t, 2H, h).
	RMN <sup>13</sup> C (300 MHz, CDCl <sub>3</sub> ): δ 13,66; 14,00; 19,12; 22,57; 24,78; 29,09; 30,46; 30,68; 30,90; 31,64; 34,63; 64,23; 174,00.
I.V. (KBr): $\nu_{\max}$ cm <sup>-1</sup> (C = O): 1738,7	
Octanoato de isopentila	
	RMN <sup>1</sup> H (300 MHz, CDCl <sub>3</sub> ): δ 0,82 – 0,92 (m, 9 H, a, k, l); 1,20 – 1,75 (m, 13 H, b, c, d, e, f, i, j); 2,26 (t, 2 H, g); 4,10 (t, 2 H, h).
	RMN <sup>13</sup> C (300 MHz, CDCl <sub>3</sub> ): δ 14,04; 22,40; 22,57; 24,99; 29,09; 31,64; 34,14; 34,64; 37,34; 62,86; 174,00.
I.V. (KBr): $\nu_{\max}$ cm <sup>-1</sup> (C = O): 1738,7	